УДК 539.1

НЕСТАЦИОНАРНАЯ ДИНАМИЧЕСКАЯ ЗАДАЧА ТЕОРИИ УПРУГОСТИ ДЛЯ КОНЕЧНОГО ЦИЛИНДРА¹

© 2003 Л.И. Фридман²

Проблема разработки методов динамических расчетов сооружений и машин — актуальнейшая задача современной науки. Этой проблеме посвятил всю свою творческую жизнь Юрий Эдуардович Сеницкий. Им и его учениками решен ряд сложных задач динамики элементов сооружений и машин на основе метода конечных интегральных преобразований. В настоящей работе построено решение нестационарной задачи теории упругости для конечного цилиндра родственным методом — разложением в ряд по системам ортогональных функций.

Введение

Один из возможных методов решения нестационарных динамических задач теории упругости — решение в рядах по собственным формам. В работах [1,2] приводится реализация этого метода при построении решения нестационарной полярно-симметричной задачи для полой сферы, для которой известно решение в квадратурах, полученное методом "бегущей волны". Сопоставление вычислений, полученных двумя методами, подтверждает хорошую сходимость метода разложения в ряд по собственным формам.

В отличие от полой сферы, когда известно точное решение задачи о собственных формах, решение последней для тел любой другой формы строится в рядах по ортогональным системам функций [3,4]. Это обстоятельство существенно усложняет построение нестационарной динамической задачи для конечного цилиндра. Однако появив-

 $^{^{1}\,}$ Представлена доктором физико-математических наук профессором Ю.Н. Ралаевым.

 $^{^2}$ Фридман Лев Израилевич, кафедра сопротивления материалов и строительной механики Самарской архитектурно-строительной академии, 443001, Самара, ул. Молодогвардейская, 194.

шиеся в последнее время системы компьютерной алгебры, например "Mathematica 4.1", упрощают как проведение сложных аналитических преобразований при построении алгоритма, так и процесс вычислений.

В безразмерных криволинейных ортогональных координатах α_i (i = 1, 2, 3) уравнения динамической задачи теории упругости имеют вид

$$c_1^2 \frac{1}{H_i} \frac{\partial \Delta}{\partial \alpha_i} - c_2^2 \frac{1}{H_j H_k} \left[\frac{\partial}{\partial \alpha_j} (H_k 2\omega_k) - \frac{\partial}{\partial \alpha_k} (H_j 2\omega_j) \right] + \frac{l}{E} F_i = \frac{\partial^2 u_i}{\partial t^2}$$

$$(i = 1, 2, 3; \ j = 2, 3, 1; \ k = 3, 1, 2). \quad (1)$$

Здесь u_i — безразмерные компоненты перемещения; $2\omega_i$ — компоненты вектора вращения; H_i — коэффициенты Ламе; Δ — относительное изменение объема; t — безразмерное время, отнесённое к $l\,c^{-1}$; l — характерный линейный размер; $c=\sqrt{E\,\rho^{-1}}$ — скорость звука; E — модуль упругости; ρ — массовая плотность; $c_1^2=\frac{1-\nu}{(1+\nu)(1-2\nu)},\ c_2^2=\frac{1}{2(1+\nu)}$ — квадраты безразмерных скоростей волн расширения и волн сдвига; ν — коэффициент Пуассона.

Уравнения стационарной задачи (уравнения собственных форм) могут быть получены из (1) и записаны в виде

$$c_1^2 \frac{1}{H_i} \frac{\partial \Delta_m}{\partial \alpha_i} - c_2^2 \frac{1}{H_i H_k} \left[\frac{\partial}{\partial \alpha_i} (H_k 2 \omega_k) - \frac{\partial}{\partial \alpha_k} (H_j 2 \omega_j) \right] + \frac{l}{E} F_i + \lambda_m^2 u_{im} = 0, \quad (2)$$

где m — индекс (номер) формы; λ_m — безразмерная частота.

Компоненты перемещения u_i (i=1,2,3) удовлетворяют условию ортогональности

$$\iiint\limits_{V} \left(u_{1m} u_{1n} + u_{2m} u_{2n} + u_{3m} u_{3n} \right) dV = 0, \quad m \neq n.$$
 (3)

Здесь $dV = H_1H_2H_3 d\alpha_1 d\alpha_2 d\alpha_3$ — элемент объема.

Решение нестационарной задачи записывается в виде

$$u_i = \sum_{m=1}^{\infty} u_{im} \varphi_m(t), \tag{4}$$

где — $\varphi_m(t)$ искомая функция времени.

Подстановка выражения (4) в систему (1), умножение уравнений системы соответственно на $u_{in} dV$, сложение их и интегрирование по объему с учетом (2) и (3) дают

$$\frac{d^2\varphi_m}{dt^2} + \lambda_m^2 \varphi_m = f_m(t). \tag{5}$$

Здесь

$$f_m(t) = \frac{1}{EC_m} \iiint_V \left(F_1 u_{1m} + F_2 u_{2m} + F_3 u_{3m} \right) dV, \tag{6}$$

$$C_m = \iiint\limits_V \left(u_{1m}^2 + u_{2m}^2 + u_{3m}^2 \right) dV, \tag{7}$$

где F_1, F_2, F_3 — компоненты объемной силы, заданной как функция координат и времени. Решение уравнения (5) при нулевых начальных условиях (при $t=0,\ u_i=0,\ \frac{\partial u_i}{\partial t}=0)$ имеет вид

$$\varphi_m(t) = \frac{1}{\lambda_m} \int_0^t f_m(\tau) \sin\left[\lambda_m(t-\tau)\right] d\tau.$$
 (8)

Если на граничной поверхности тела заданы компоненты поверхностной нагрузки S_i , то ее можно заменить объемной, действующей в тонком слое, прилегающем к граничной поверхности $F_i = S_i h^{-1}$, где h— толщина слоя по нормали к поверхности. В этом случае зависимость (6) принимает вид

$$f_m(t) = \frac{1}{h} \iiint_{V_h} \left(S_1 u_{1m} + S_2 u_{2m} + S_3 u_{3m} \right) dV.$$
 (9)

Переходя к пределу $(h \to 0, V_h \to 0)$ и раскрывая неопределенность, получим решение для поверхностной нагрузки.

1. Собственные формы и частоты

Стационарная динамическая задача теории упругости сводится к трём уравнениям Гельмгольца относительно трех потенциалов перемещений [5]. В некоторых системах координат, включая прямоугольные, цилиндрические и сферические, решения уравнений Гельмгольца методом разделения переменных и специальным подбором параметров разделения представляются в виде суммы трёх двойных разложений по ортогональным функциям на координатных поверхностях в области, занятой рассматриваемым каноническим телом, включая его граничные поверхности [3, 4].

В цилиндрических координатах r, φ , z для кругового цилиндра $r_1 \leqslant \leqslant r \leqslant r_2$, $0 \leqslant z \leqslant z_0$ условие периодичности по координате φ упрощает формы колебаний; потенциалы перемещений при этом представляются в виде одинарных разложений [7]. Перемещения записываются в виде

$$U_{rim} = u_{rim} \cos(m\varphi); \ U_{\varpi im} = u_{\varpi im} \sin(m\varphi); \ U_{zim} = u_{zim} \cos(m\varphi);$$

$$\begin{split} u_{rjm} &= \sum_{n=1}^{\infty} \left[A_n^{(0)} \frac{d}{dr} I_m(r\gamma_n) + B_n^{(0)} \frac{d}{dr} K_m(r\gamma_n) - A_n^{(1)} \mu_n \frac{d}{dr} I_m(r\delta_n) - \\ &\quad - B_n^{(1)} \mu_n \frac{d}{dr} K_m(r\delta_n) + A_n^{(2)} \frac{m}{r} I_m(r\delta_n) + B_n^{(2)} \frac{m}{r} K_m(r\delta_n) \right] \cos(\mu_n z) + \\ &\quad + \sum_{k=1}^{\infty} \left\{ C_k^{(0)} \left[\exp(-\omega_k(z_0 - z)) + c_c \frac{d}{dz} \exp(-\Omega_k(z_0 - z)) + d_c \frac{d}{dz} \exp(-\Omega_k z) \right] + \\ &\quad + D_k^{(0)} \left[\exp(-\omega_k z) + c_d \frac{d}{dz} \exp(-\Omega_k(z_0 - z)) + d_d \frac{d}{dz} \exp(-\Omega_k z) \right] \right\} \frac{d}{dr} w_k(r); \end{split}$$

$$\begin{split} u_{\varphi jm} &= -\sum_{n=1}^{\infty} \bigg[-A_n^{(0)} \frac{m}{r} I_m(r \gamma_n) - B_n^{(0)} \frac{m}{r} K_m(r \gamma_n) + A_n^{(1)} \mu_n \frac{m}{r} I_m(r \delta_n) + \\ &+ B_n^{(1)} \mu_n \frac{m}{r} K_m(r \delta_n) - A_n^{(2)} \frac{d}{dr} I_m(r \delta_n) + B_n^{(2)} \frac{d}{dr} K_m(r \delta_n) \bigg] \cos(\mu_n z) + \\ &+ \sum_{k=1}^{\infty} \bigg\{ C_k^{(0)} \big[\exp(-\omega_k(z_0 - z)) + c_c \frac{d}{dz} \exp(-\Omega_k(z_0 - z)) + d_c \frac{d}{dz} \exp(-\Omega_k z) \big] + \\ &+ D_k^{(0)} \big[\exp(-\omega_k z) + c_d \frac{d}{dz} \exp(-\Omega_k(z_0 - z)) + d_d \frac{d}{dz} \exp(-\Omega_k z) \big] \bigg\} \frac{m}{r} w_k(r); \end{split}$$

$$u_{zjm} = \sum_{n=1}^{\infty} \left[-A_n^{(0)} \mu_n I_m(r\gamma_n) - B_n^{(0)} \mu_n K_m(r\gamma_n) + A_n^{(1)} [\mu_n^2 - (\lambda_{jm}/c_2)^2] I_m(r\delta_n) + \right. \\ \left. + B_n^{(1)} [\mu_n^2 - (\lambda_{jm}/c_2)^2] K_m(r\delta_n) + \right] \sin(\mu_n z) + \\ \left. + \sum_{k=1}^{\infty} \left\{ C_k^{(0)} \left[\frac{d}{dz} \exp(-\omega_k (z_0 - z)) + c_c \exp(-\Omega_k (z_0 - z)) + d_c \exp(-\Omega_k z) h_k^2 \right] + \right. \\ \left. + D_k^{(0)} \left[\frac{d}{dz} \exp(-\omega_k z) + c_d \exp(-\Omega_k (z_0 - z)) + d_d \exp(-\Omega_k z) h_k^2 \right] \right\} w_k(r).$$

Здесь $\mu_n = \frac{(n-1)\pi}{z_0}$; $\gamma_n = \sqrt{\mu_n^2 - \lambda_{im}^2 c_1^{-2}}$; $\delta_n = \sqrt{\mu_n^2 - \lambda_n^2 c_2^{-2}}$; $\omega_k = \sqrt{h_k^2 - \lambda_{jm}^2 c_1^{-2}}$; $\Omega_k = \sqrt{h_k^2 - \lambda_{im}^2 c_2^{-2}}$; λ_{jm} — безразмерная частота, j — номер частоты при фиксированном m; I_m и K_m — модифицированные функции Бесселя. Если какая-либо из приведенных величин принимает мнимые значения, то соответствующие модифицированные функции Бесселя заменяются функциями Бесселя, а соответствующие экспоненты — тригонометрическими функциями.

В приведенных выше выражениях h_k и $w_k(r)$ —соответственно собственное значение и собственная функция задачи Штурма—Лиувилля для функции радиуса при разделении переменных в уравнении Гельм-

гольца, т.е.

$$w_k(r) = \left[\frac{dY_m(rh_k)}{dr}\right]_{r=r_2}^{l} J_m(rh_k) - \left[\frac{dJ_m(rh_k)}{dr}\right]_{r=r_2}^{l} Y_m(rh_k),$$

где J_m и Y_m — функции Бесселя.

Собственные значения h_k являются корнями уравнения

$$\left[\frac{dw_k}{dr}\right]_{r=r_1} = 0,$$

причем r_1 и r_2 — соответственно внутренний и внешний радиусы цилиндра.

Постоянные c_c , c_d , d_c , d_d вычисляются следующим образом:

$$\begin{split} c_c &= \left\{ \left[\frac{d}{dz} \exp(\omega_k(z-z_0)) \right] \Big|_{z=z_0} \left[\exp(-\Omega_k z) \right] \Big|_{z=0} - \\ &- \left[\frac{d}{dz} \exp(\omega_k(z-z_0)) \right] \Big|_{z=0} \left[\exp(-\Omega_k z) \right] \Big|_{z=z_0} \right\} H_q^{-1}; \end{split}$$

$$c_d = \left\{ \left[\frac{d}{dz} \exp(-\omega_k z) \right] \Big|_{z=z_0} \left[\exp(-\Omega_k z) \right] \Big|_{z=0} - \left[\frac{d}{dz} \exp(\omega_k z) \right] \Big|_{z=0} \left[\exp(-\Omega_k z) \right] \Big|_{z=z_0} \right\} H_q^{-1};$$

$$\begin{split} d_c &= \left\{ \left[\frac{d}{dz} \exp(\omega_k (z-z_0)) \right] \Big|_{z=0} \left[\exp(\Omega_k (z-z_0)) \right] \Big|_{z=z_0} - \\ &- \left[\frac{d}{dz} \exp(\omega_k (z-z_0)) \right] \Big|_{z=z_0} \left[\exp(\Omega_k (z-z_0)) \right] \Big|_{z=0} \right\} H_q^{-1}; \end{split}$$

$$d_{d} = \left\{ \left[\frac{d}{dz} \exp(-\omega_{k} z) \right] \Big|_{z=0} \left[\exp(\Omega_{k} (z - z_{0})) \right] \Big|_{z=z_{0}} - \left[\frac{d}{dz} \exp(\omega_{k} z) \right] \Big|_{z=z_{0}} \left[\exp(\Omega_{k} z - z_{0}) \right] \Big|_{z=0} \right\} H_{q}^{-1};$$

$$H_{q} = \left[h_{k}^{2} - \left(\frac{\lambda_{jm}}{c_{2}}\right)^{2}\right] \left\{ \left[\exp(\Omega_{k}(z - z_{0}))\right]\Big|_{z=0} \left[\exp(-\Omega_{k}z)\right]\Big|_{z=z_{0}} - \left[\exp(\Omega_{k}(z - z_{0}))\right]\Big|_{z=z_{0}} \left[\exp(-\Omega_{k}z)\right]\Big|_{z=0} \right\}.$$

Собственные частоты и формы вычислялись для свободного цилиндра. Граничные условия после разложений функций r на плоских границах z=0 и $z=z_0$ по $w_k(r)$ и функций z на цилиндрических границах $r=r_1$ и $r=r_2$ по $\cos(\mu_n z)$, $\sin(\mu_n z)$ переходят в бесконечные последовательности линейных однородных алгебраических уравнений относительно последовательностей произвольных постоянных $A_n^{(0)}$, $B_n^{(0)}$, $A_n^{(1)}$, $B_n^{(1)}$, $A_n^{(2)}$, $B_n^{(2)}$, $C_k^{(0)}$, $D_k^{(0)}$. Условие разрешимости усеченной

однородной системы дает частотное уравнение (частотный определитель порядка 8N, где N — число удерживаемых слагаемых в разложениях). Среди корней частотного уравнения, кроме частот λ_{jm} , встречаются корни, равные ih_kc_1 , ih_kc_2 , $i\mu_nc_1$, $i\mu_nc_2$, где i — целое число. Введение в программу вычисления частот процедур, отсеивающих корни, не являющиеся частотами, и проверка частот на резонанс позволили существенно расширить область достоверного вычисления частот, чему в немалой степени способствуют вычислительные возможности системы "Mathematica 4.1".

На рис. 1 приведена зависимость λ_{1m} от z_0 , вычисленная на основе уравнений теории упругости (сплошные линии) и на основе теории колебаний пластин (модель Тимошенко) (штриховые линии). Аналогичные зависимости в [6] ограничены огибающей нижних значений корней, не являющихся частотами.

2. Нестационарная задача для цилиндра

На плоской границе z=0 приложена нормальная к граничной поверхности уравновешенная нагрузка

$$p = p_*(t)\cos(m\varphi). \tag{10}$$

Зависимость (9) принимает вид

$$f_m(t) = \frac{1}{C_{jm}h} \int_{r_1}^{r_2} \int_{0}^{2\pi} \int_{0}^{h} pu_{zjm} dr d\varphi dz,$$
 (11)

где

$$C_{jm} = \int_{r_1}^{r_2} \int_{0}^{2\pi} \int_{0}^{h} \left[\left(u_{rjm} \cos(m\varphi) \right)^2 + \left(u_{\varphi jm} \sin(m\varphi) \right)^2 + \left(u_{zjm} \cos(m\varphi) \right)^2 \right] r dr d\varphi dz.$$
(12)

Здесь j—индекс (номер) формы колебаний при фиксированном m. Функция f(t) принимает вид

$$f_{im} = A_{im} p_*(t),$$

где A_{jm} — постоянная, полученная после интегрирования по координатам и вычисления пределов в (11) и (12).

Из зависимости (8) следует

$$\varphi_{jm}(t) = \frac{1}{E} A_{jm} \frac{1}{\lambda_{jm}} \int_{0}^{t} p_{*}(\tau) \sin\left[\lambda_{jm}(t-\tau)\right] d\tau.$$
 (13)

Компоненты перемещений нестационарной задачи

$$u_r = \sum_{j=1}^{\infty} u_{rjm} \varphi_{jm}(t) \cos(m\varphi); \qquad u_{\varphi} = \sum_{j=1}^{\infty} u_{\varphi jm} \varphi_{jm}(t) \sin(m\varphi);$$
$$u_z = \sum_{j=1}^{\infty} u_{zjm} \varphi_{jm}(t) \cos(m\varphi)$$

определяют напряженное состояние как функцию координат и времени.

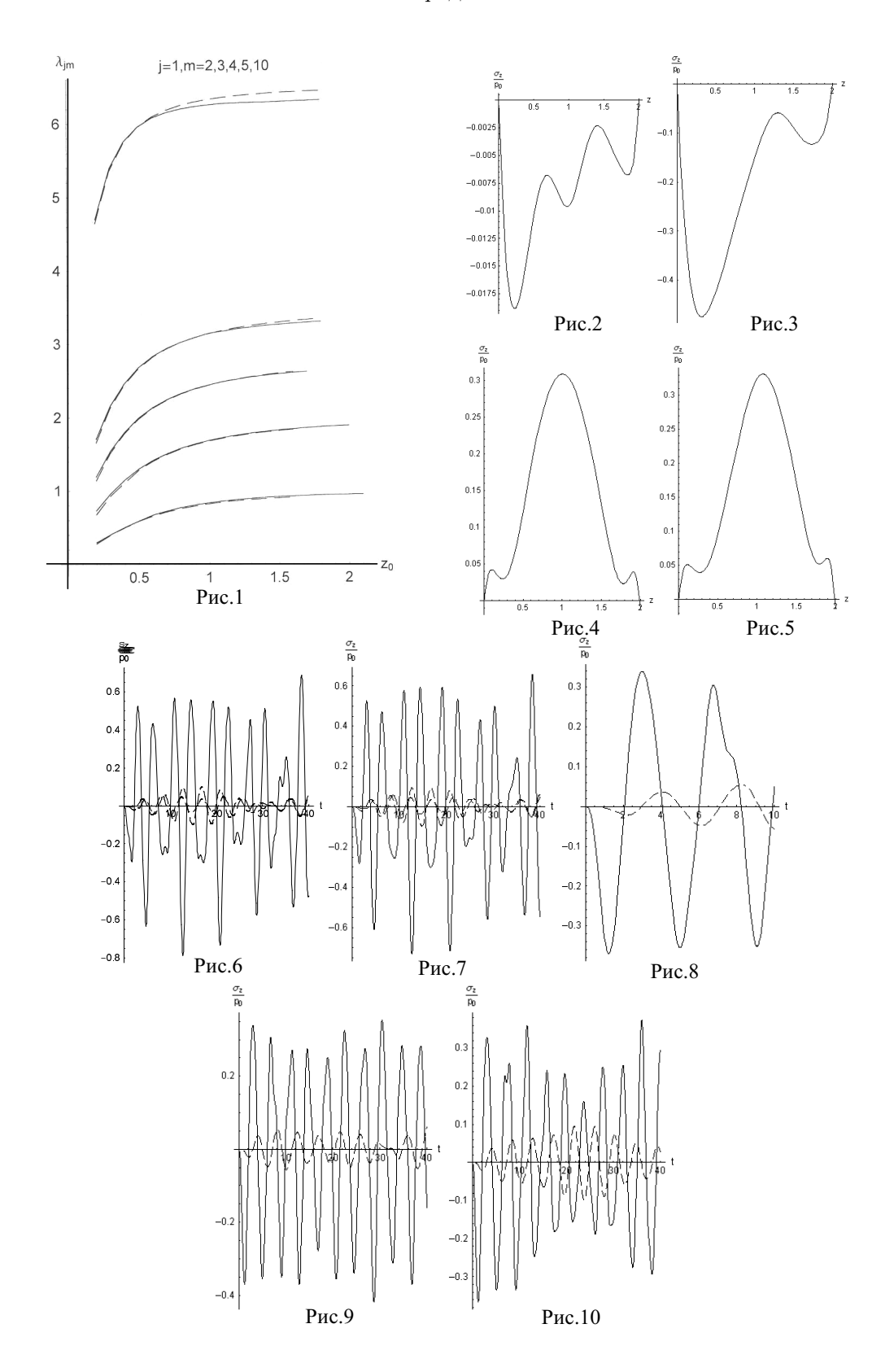
Вычисления проводились для m=2 и $p_*(t)=p_0\sin(\pi t/t_0)$, что соответствует импульсному нагружению. На рис. 2–5 приведены отношения σ_z/p_0 (σ_z — напряжение) как функции z на отрезке r=0.3875, $\varphi=0$ в моменты времени, указанные на рисунках; при этом продолжительность импульса $t_0=\pi/\lambda_{12}$. При вычислении собственных частот и форм в соответствующих рядах удерживалось 10 слагаемых т. е. частотное уравнение представляет собой определитель 80 порядка. Вычисления в нестационарной задаче, результаты которых приведены на рис. 2–4, проведены при суммировании 20 форм. Для сравнения на рис. 5 приведены результаты вычислений по 5 формам колебаний.

На рис. 6–10 приведены отношения σ_z/p_0 как функции времени t при изменении нагрузки в соответствии с зависимостью (10) при m=2 и $p_*(t)=p_0\sin(\eta\lambda_{12}t)$, здесь η принято равным 1,15; (при $\eta=1$ наступает резонанс с частотой первой формы). Напряжения вычислялись в трёх точках r=0.3875, $\varphi=0$, z=0, $z=z_0/2$, $z=z_0$ (рис. 6,7) и в двух точках r=0.3875, $\varphi=0$, z=0, $z=0.0625z_0$ (рис. 8,9), одна из которых находится на граничной поверхности z=0, а другая вблизи первой $z=0.0625z_0$. Число id собственных форм, по которым проводились вычисления (их результаты приведены на рис. 6,8,9), равно 20; на рис. 7 id=10. Как из первой серии вычислений (рис. 2–5), так и из второй серии вычислений (рис. 6–9) следует, что граничные уловия при z=0 и $z=z_0$ $\sigma_z=0$ удовлетворяются достаточно точно и что напряжения σ_z резко возрастают вблизи граничной поверхности (рис. 8,9).

Нестационарные движения могут вычисляться по 10–15 формам колебаний. Все вычисления проведены для относительнных размеров цилиндра: внутренний радиус $r_1 = 0.3$, внешний радиус $r_2 = 1$, длина $z_0 = 2$.

Литература

[1] Фридман Л. И. Решение динамической задачи теории упругости в криволинейных координатах // Проблемы прочности. 1976. №5. С. 56–61.



- [2] Фридман Л. И. Применение метода "бегущей волны" к решению динамической задачи о нагружении упругой сферы // Прикладная механика. 1976. Т. 12. № 9. С. 30–35.
- [3] Фридман Л. И. Динамическая задача теории упругости для тел канонической формы // Доклады. АН СССР. 1986. Т. 289. № 4. С. 825–828.
- [4] Фридман Л. И. Динамическая задача теории упругости для тел канонической формы // Прикладная механика. 1987. Т. 23. № 12. С. 102-108.
- [5] Морс Ф., Фешбах Г. Методы теоретической физики. Т. 2. М.: Иностр. лит., 1960. 886 с.
- [6] Кузнецов Н. Д., Фридман Л. И., Шапошников Ю. Н. Особенности низкочастотного спектра собственных колебаний цилиндрических тел // Доклады АН СССР. 1990. Т. 312. № 1. С. 55–58.
- [7] Фридман Л. И. Динамическая задача теории упругости для цилиндра конечных размеров // Прикладная механика. 1981. Т. 17. № 3. С. 37–43.

NON-STATIONARY DYNAMICAL ELASTIC PROBLEM FOR FINITE CYLINDER³

© 2003 L.I. Fridman⁴

In the present work the solution of non-stationary dynamical elastic problem for finite cylinder is given. The solution is represented by convergent series over orthogonal functions.

Поступила в редакцию 29/III/2003 в окончательном варианте — 15/V/2003

³ Communicated by Dr. Sci. (Phys. & Math.) Prof. Y.N. Radayev.

⁴ Fridman Lev Israilevich, Dept. of Strength of Materials and Structural Mechanics, Samara State Architectural Academy, Samara, 443001, Russia.